

## การออกแบบและสร้างหม้อแปลงเทสล่า 120 kV 120 kHz สำหรับทดสอบลูกถ้วย绝缘

### Design and construction tesla transformer 120 kV 120 kHz for Insulator Testing

ศุภรุ่มิ เนตรโพธิ์แก้ว และ ทง ลานธรรมทอง  
สาขาวิชาวิศวกรรมไฟฟ้า คณะวิศวกรรมศาสตร์ มหาวิทยาลัยเทคโนโลยีราชมงคลพระนคร ศูนย์พระนครเหนือ<sup>1</sup>  
เลขที่ 1381 ถนนพิบูลสงคราม แขวงบางซื่อ เขตบางซื่อ กรุงเทพมหานคร 10800.  
e-mail: Supawudn\_p\_g@hotmail.com

#### บทคัดย่อ

งานวิจัยนี้เป็นการศึกษาออกแบบและสร้างหม้อแปลงแรงดันสูงและความถี่สูงหรือหม้อแปลงเทสล่า โดยมีขนาดพิกัดการออกแบบที่ 120 kV 120 kHz โดยใช้การค้นบล็อกผ่านแกนอากาศและใช้อากาศเป็น绝缘ระหว่างขดลวดแรงสูงและขดลวดแรงต่ำด้วยกัน ซึ่งจะได้กล่าวถึงการคำนวณหาโครงสร้างและมิติที่เหมาะสมที่สุดเพื่อให้เกิดสภาพการทำงานที่เหมาะสม ในเนื้อหาของงานวิจัยจะแสดงการออกแบบหม้อแปลงแรงดันสูงและความถี่สูง 120 kV 120 kHz เพื่อใช้งานในห้องปฏิบัติการวิศวกรรมไฟฟ้าแรงสูง ของคณะวิศวกรรมศาสตร์ มหาวิทยาลัยเทคโนโลยีราชมงคลพระนคร

คำสำคัญ : หม้อแปลงเทสล่า

#### Abstract

This research presented the details of design and constructions of tesla transformer for testing insulator. The output of the tesla transformer has a rate of 120 kV and 120 kHz. Tesla transformer consisted of primary coil and secondary coil which is wound on a PVC insulating chamber and use air insulation in part of coaxial. The Rotary Gap is rotated electrode which use for increasing efficiency of voltage generation. This paper presented the details of design and constructions are explained. And compare the tesla Transformer reproduce which is created the voltage at 120 kV and frequency 120 kHz for used in HighVoltage Laboratory Faculty of Engineering Rajamangala University of Technology Phra Nakhon.

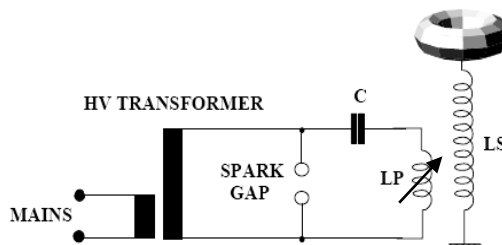
keyword : Tesla Transformer

#### 1.บทนำ

1.1 ลักษณะการเกิดการคันบล็อกระหว่างขดลวดหั้งสองของหม้อแปลงเทสล่า

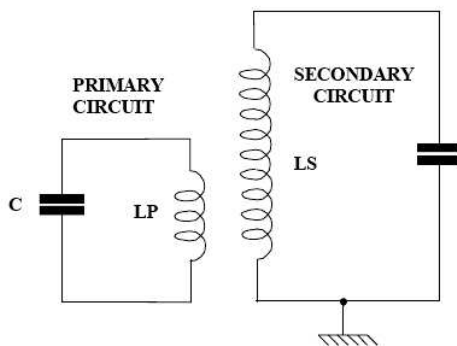
หม้อแปลงแรงดันสูงความถี่สูงจัดได้ว่าเป็นประเภทของหม้อแปลงที่เป็นชนิดพิเศษ โดยที่แกนของตัวหม้อแปลงจะใช้เป็นแกนอ

อากาศ ขดปฐมภูมิ (Primary) และขดทุติยภูมิ (Secondary) จะติดตั้งอยู่ในแกนร่วมกัน แรงดันของหม้อแปลงจะไม่เข้าสู่กันอัตราส่วนของรอบในขดปฐมภูมิ และขดทุติยภูมิ แต่จะเพิ่มขึ้นโดยการใช้การเรโซแนนซ์ (Resonance) ระหว่างขดปฐมภูมิกับขดทุติยภูมิ โดยที่ขดลวดทุติยภูมิจะกระทำการเป็นตัวรับพลังงานจากขดปฐมภูมิ ที่ความถี่เรโซแนนซ์ (Resonance Frequency) จะเป็นผลทำให้เกิดแรงดันเพิ่มขึ้นอย่างมาก many ความถี่เรโซแนนซ์จะอยู่ระหว่าง 50 Hz ถึง 500 kHz ที่แรงดันด้านออกจะมีค่าเริ่มต้นแต่ 100 kV ขึ้นไป ถ้าหากมีพลังงานที่ป้อนให้เพียงพอแรงดันด้านออกจะมีค่าเพิ่มขึ้นถึงช่วงเมกะโวลต์ (Mega Volt) และถ้าเกิดมีแรงดันขึ้นไปถึงช่วงระดับที่แนะนำจะทำให้มีการเริ่มเกิดการสปาร์ค(Spark)และจะเปลี่ยนแปลงไปเป็นประกายแสงที่แตกออกอย่างกว้างขวางเป็นอิสระ รูปที่ 1 คือวงจรพื้นฐานของหม้อแปลงเทสล่า



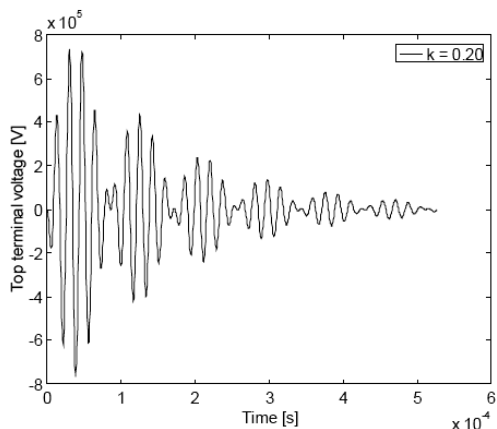
รูปที่ 1 แสดงวงจรพื้นฐานหม้อแปลงเทสล่า

การทำงานของขดลวดหม้อแปลงเทสล่า อธิบายได้โดยใช้กฎทางคณิตศาสตร์ไฟฟ้าของวงจรเรโซแนนซ์ 2 วงจรที่มีการ coupling โดยขดลวดหนึ่งยาน้ำผ่านแกนอากาศ วงจรแรกประกอบด้วยตัวเก็บประจุ C และขดลวดทางด้านปฐมภูมิ LP ต่อกันแบบอนุกรมผ่าน Spark gap ในขณะที่วงจรที่สองประกอบด้วยขดลวดทุติยภูมิ LS ต่อแบบอนุกรมกับตัวนำทรงกลมหรือทรงโดนัสซึ่งทำหน้าที่เหมือนเป็นตัวเก็บประจุที่ต่ออยู่กับกราว์ด (รูปที่ 2)



รูปที่ 2 แสดงวงจรสมมูลของหม้อแปลงเทเลสโค

ในขณะที่ Spark gap นำกระแสไฟฟ้า พลังงานที่เก็บอยู่ในตัวเก็บประจุด้านปฐมภูมิ C จะถูกจ่ายให้กับ LP ทำให้วงจรทางด้านปฐมภูมิอสซิลเลตไก้กับความถี่เรโซแนนซ์ซึ่งความถี่ขึ้นอยู่กับค่า C และ LP พลังงานส่วนนี้จะถูกส่งผ่านทางคลื่นแม่เหล็กไฟฟ้าไปยังขดลวดด้านที่二ภูมิ LS ซึ่งจะทำให้เกิดอสซิลเลตไก้กับความถี่เรโซแนนซ์ของวงจรด้านที่二ภูมิด้วยเช่นกัน ในลำดับถัดมา ขนาดสูงสุดของแรงดันจะมีค่าสูงสุดเมื่อแรงดันของวงจรเรโซแนนซ์ 2 วงจรนี้มีเฟสตรงกัน ซึ่งเป็นปรากฏการณ์ Beat เช่นเดียวกับคลื่นนำหัวหรือคลื่นเสียงดูตัวอย่างตามรูปที่ 2.16 พลังงานนี้ถูกส่งกลับไปกลับมาจากการจุดด้านหนึ่งไปยังอีกด้านหนึ่งด้วยความถี่ Beat จนกระทั่งพลังงานเหล่านี้หันหมดสูญเสียไปในรูปของความร้อนเนื่องจากความต้านทานของขดลวดและสูญเสียไปในรูปของคลื่นแม่เหล็กไฟฟ้า ณ ช่วงเวลาหนึ่งกระแสไฟฟ้าทางด้านวงจรปฐมภูมิจะมีค่าต่ำสุดและทำให้ Spark gap หยุดนำกระแส



รูปที่ 3 ลักษณะการเกิดของสัญญาณทางขากองของหม้อแปลง

อัตราส่วนระหว่างแรงดันทางด้าน Lp และแรงดันที่เกิดขึ้นด้าน ls ไม่ขึ้นกับอัตราส่วนจำนวนรอบของขดลวดด้านปฐมภูมิและที่ที่สองแต่เป็นสัดส่วนตรงกับรากที่ 2 ของอัตราส่วนค่าความเห็นใจว่า ls และ Lp สมประสิทธิ์การคันบลิงระหว่างขดลวดทั้งสองค่อนข้างแตกต่างจากค่าปกติ ซึ่งมีค่า 0.9-1 สำหรับหม้อแปลงแกนเหล็กที่ใช้กันโดยทั่วไป ด้วยเหตุนี้ กันโดยทั่วไปค่าจะอยู่ระหว่าง 0.1 – 0.6

## 1.2 รายละเอียดส่วนประกอบของหม้อแปลงแรงดันสูงความถี่สูง

### 1.2.1 กราวด์อังอิง (RF Ground)

กราวด์อังอิงถือว่าเป็นสิ่งที่จำเป็นที่ทำให้การทำงานของหม้อแปลงมีประสิทธิภาพสูงสุด กราวด์ที่จะนำมาใช้งานจำเป็นจะต้องมีค่าอิมพีเดนซ์ (Impedance) ที่มีค่าต่ำมากๆ ถึงจะเหมาะสมสำหรับการนำไปใช้งานกับหม้อแปลง และห้ามที่จะนำหม้อแปลงไปต่อรวมกับกราวด์ของบ้าน เพราะจะทำให้เกิดความเสียหายขึ้นกับเครื่องใช้ไฟฟ้าที่ติดตั้งใช้งานอยู่ และยังรวมไปถึงเครื่องใช้ไฟฟ้าอื่นๆ ที่ต่อกราวด์รวมกันอาจมีผลกระทบได้ และเมื่อทำการต่อกราวด์ที่มีคุณภาพดีให้กับหม้อแปลงก็จะทำให้ได้ประสิทธิภาพที่ดีที่สุดของหม้อแปลง

### 1.2.2 แกปป้องกัน (Safety Gap)

การทำงานของหม้อแปลงที่แรงดันของด้านที่二ภูมิ บางครั้งมีแรงดันสูงมากกลับไปยังแหล่งจ่าย (Supply) ได้ ความผิดพลาดของแรงดันสูงๆ ที่เกิดขึ้นบ่อยๆ เรียกว่าคิกแบล็ค (Kickback) แกปป้องกันจึงเป็นสิ่งจำเป็น และทำการออกแบบขึ้นมาป้องกันความเสียหายที่เกิดขึ้นกลับแหล่งจ่าย (Power Supply) ได้ เนื่องจากการคิกแบล็คปกติคิดตั้งกลับหม้อแปลงนี่อนด้านปฐมภูมิของหม้อแปลง แกปป้องกันมีความแตกต่างกับแกปหลัก (Main gap) เพราะแกปป้องกันจะเกิดความร้อนขึ้นบางครั้งบางคราวเท่านั้น การปรับแต่งแกปป้องกัน โดยปกติจะปรับแต่งให้เพียงพอ กับการป้องกันแหล่งจ่าย การปรับแต่งแกปป้องกัน สำหรับหม้อแปลงนี่อนมีขนาดตั้งแต่ 9, 12 หรือ 15 KV ปกติจะใช้ระยะแกป คือ 3/8 นิ้ว กับเพียงพอ ถ้าปรับตั้งแล้วไม่เกิดการ สปาร์ค (Spark) เลย หรือเกิดขึ้นน้อยครั้ง ก็ให้ทำการปรับเข้ามาอีกเพียงเล็กน้อย แต่ถ้าเกิดการสปาร์คอย่าง盛ุ่มส่อง ก็ให้ทำการขยายอีกเพียงเล็กน้อย

### 1.2.3 สปาร์คแกป (Spark gap)

สปาร์คแกปจะทำหน้าที่เป็นสวิตช์ความเร็วสูงกำลังไฟฟ้าสูง ตัวสปาร์คต้องครอบคลุมระดับแรงดันพังทะลาย (Breakdown voltage) ไม่ต่างไปจากอุปกรณ์อิเล็กทรอนิก (Electronic) หรือสารกึ่งตัวนำ (Semiconductor) การออกแบบต้องสามารถเป็นสวิตช์ (Switch) ที่ระดับกำลังไฟฟ้าสูงๆ อย่างรวดเร็วซึ่งเรียกว่าสปาร์คแกป เมื่อแรงดันคร่อมสปาร์คแกปมีค่าสูงเพียงพอจะทำให้อากาศที่อยู่ระหว่างตัวนำของแกป จะเริ่มงอกออก (Ionize) หากว่าการเกิดไอออกันที่เพิ่มขึ้นเพียงพอ จะทำให้เกิดเป็นสีที่แกปประโอดไปยังอีกแกปหนึ่ง เมื่อแรงดันที่คร่อมสปาร์คแกปคงจะทำให้การไอออกันลดลงด้วย และแกปจะกลับสภาพเดิม คือเปิดวงจร (Open circuit) การดับของอาร์ค (Arc) จะเป็นไปตามเวลาที่กำหนดให้ดับ แกปจะต้องมีความแข็งแรงที่จะทำการหยุดเป็นตัวนำที่รัดเร็วได้โดยจำนวนของแกปที่ต้องอนุกรรمهอยู่ ความร้อนและไอออกัน (Ion) จะเกิดขึ้นและแผ่ขยายออกไปเต็มพื้นที่ถ้ามีอากาศเป่าที่แกปก็จะทำให้การดับอาร์คทำได้ดีขึ้นโดยอากาศจะเป็นตัวช่วยทำให้การเคลื่อนที่ของไอออกันร้อน (Heat ion) ที่เป็นสีส้มในแกปเคลื่อนที่ได้เร็ว การต่อแกปแบบอนุกรรມจะเรียกว่า สแตติกแกป (Static gap) และยังมีอีกชนิดคือโรตารีแกป (Rotary gap) จะมีส่วนประกอบคือหนึงคู่ตัวนำที่อยู่กับที่และหลายคู่ตัวนำที่

เคลื่อนที่ด้วยการหมุน โดยมีข้อแม้ว่าระหว่างแกปหนึ่งคูของตัวนำที่หมุนจะต้องตรงกันหรือเป็นแนวเดียวกันกับตัวนำที่หยุดนิ่งจะทำการดับอาร์คโดยการทำงานของตัวนำที่เคลื่อนที่ สำหรับแกปของสแตติกแกปที่นำมาต่ออนุกรมกันที่ใช้มอแปลงนีออนเป็นแหล่งจ่ายจะมีจำนวนและขนาดของตัวนำขึ้นอยู่กับระดับกำลังไฟฟ้าและแรงดันไฟฟ้าของหม้อแปลงนีออนสามารถได้จาก ตารางที่ 2.2

ตารางที่ 1 จำนวนตัวนำของแกปต่อขนาดของหม้อแปลง

แรงดันไฟฟ้าของหม้อแปลง	จำนวนของตัวนำ	จำนวนของสปาร์คแกป
9 kV	7	6
12 kV	9	8
15 kV	11	10

ตัวนำที่ใช้ทำแกปทำจากนิ่นอตสแตนเลสขนาดเส้นผ่าศูนย์กลาง  $\frac{3}{4}$  นิ้ว ระยะห่างระหว่างแกปตัวนำจะอยู่ระหว่าง 0.025 ถึง 0.03 นิ้ว แกปใช้ได้กับขนาดกำลังไฟฟ้าตั้งแต่ 1.5 kW ขึ้นไป

#### 1.2.4. ทอรอยด์ (Toroid)

ทอรอยด์ของหม้อแปลงแรงดันสูงความถี่สูงมีหน้าที่ต่างๆ ดังนี้

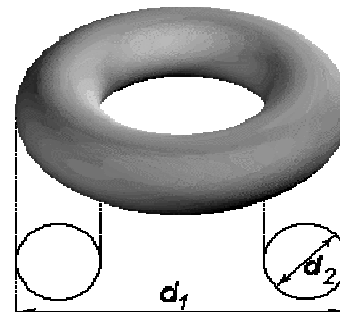
ก) ทอรอยด์ทำหน้าที่เป็นตัวเก็บประจุของเขตทุติยภูมิของหม้อแปลง เป็นส่วนช่วยทำให้เกิดการเรโซแนนซ์ ถ้าทอรอยด์มีขนาดใหญ่ก็จะได้ค่าของตัวเก็บประจุที่มากด้วย เมื่อ結合ลวดทำงานก็จะทำให้เกิดหมอกอากาศของการไอออกไอน้ำในชื้นรอบๆ จุดต่อของทอรอยด์ แต่ถ้าทำการต่อทอรอยด์ที่จุดต่อจะทำให้การไอออกไอน้ำมีความรบเรื้องและสมบูรณ์มากขึ้น

ข) ทอรอยด์จะทำให้มีเสถียรภาพขึ้นรอบๆ ส่วนบนสุดที่結合ลวดทุติยภูมิของหม้อแปลง คือพยากรณ์ทำให้แรงดันลาดเอียง (Voltage gradient) ลดลงมาอย่างมาก ในส่วนของระดับแรงดันที่เกิดบนจุดต่อทอรอยด์จะกลับเป็นแรงดันที่มีค่าสูงมาก

ค) ทอรอยด์ทำหน้าที่ช่วยในการสร้างสนามไฟฟ้าที่เกิดขึ้นรอบๆ ส่วนบนสุดที่ด้านทุติยภูมิของหม้อแปลง

จากที่กล่าวมาเราสามารถหาค่าของตัวเก็บประจุได้จากสมการ (1) ดังรูป (1)

$$C = 1 + \left( 0.2781 - \frac{d_2}{d_1} \right) \times 2.8 \times \sqrt{\frac{2\pi \times (d_1 - d_2) \times \left(\frac{d_2}{2}\right)}{4\pi}} \quad \dots\dots(1)$$



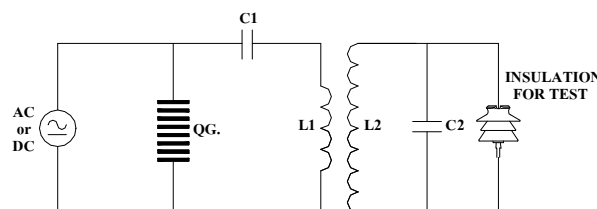
รูปที่ 4 รูปแบบของทอรอยด์ที่ใช้กับหม้อแปลงแรงดันสูงความถี่สูง

เมื่อ  $d_2$  = เส้นผ่านศูนย์กลางของทอรอยด์

$d_1$  = เส้นผ่านศูนย์กลางของห่อ , นิ้ว

$C$  = ค่าความจุไฟฟ้า , pF

#### 1.3 การทำงานของหม้อแปลงแรงดันสูงความถี่สูง



รูปที่ 5 วงจรสมมูลของหม้อแปลงแรงดันสูงความถี่สูง

จากรูปที่ 5 เป็นวงจรสมมูลของหม้อแปลงแรงดันสูงความถี่สูง และส่วนประกอบอื่นๆ โดยที่  $C_1$  เป็นตัวเก็บประจุทางด้านปฐมภูมิ ส่วน  $C_2$  เป็นตัวเก็บประจุที่เกิดขึ้นใน結合ลวดทุติยภูมิของ結合ลวด เทสลา ซึ่งเป็นประจุแผง (Stray capacitor) เมื่อจ่ายแรงดันไฟฟ้ากระแสสลับ (AC.) ประมาณ 15 kV. ให้กับตัวเก็บประจุ  $C_1$  เมื่อตัดประจุให้กับ  $C_1$  จะได้แรงดันซึ่งทำให้เกิดการเบร��าวน์ระหว่างช่องว่างของอากาศที่ตัวสปาร์คแกป QG. (Quenching gap) ซึ่งจะทำให้เกิดการปิดเปิด (switching on-off) และยังทำหน้าที่ตัดอาร์คหรือสปาร์คด้วย เมื่อเกิดการ spark over ที่สปาร์คแกปจะทำให้หัวของหม้อแปลงด้านปฐมภูมิของหม้อแปลงคงร่วง พลังงานที่เก็บไว้ใน  $C_1$  ในรูปสนามไฟฟ้าก็จะถ่ายเทประจุมายัง結合ลวดแรงดัน  $L_1$  และ  $L_1$  ก็จะเก็บพลังงานไว้ในรูปสนามแม่เหล็กเมื่อเต็มที่แล้ว  $L_1$  ก็จะถ่ายเทพลังงาน (transfer energy) กลับไปให้  $C_1$  ใหม่ จะเกิดการถ่ายทอดพลังงานกลับไปกลับมาระหว่าง  $L_1$  กับ  $C_1$  ทำให้เกิด oscillate ต่อเนื่องแบบ damped oscillation ที่มีความถี่สูง สำหรับแหล่งจ่ายแรงดันที่มีความถี่ 50 Hz หรือ 1/50 วินาทีใน 1 cycle ของแรงดันไฟฟ้าที่จ่ายให้แก่  $C_1$  ใน 1 cycle จะทำให้เกิดการประจุและคายประจุของครึ่งไซเคิลแรกและครึ่งไซเคิลสอง ดังนั้นจะทำให้เกิดการแกว่งแบบหน่วง (damped oscillation) ที่นิยมใช้จะสูงประมาณ 100-250 kHz ทั้งนี้ขึ้นอยู่กับค่า inductance และ capacitance ของการ oscillation ค่าโดยประมาณของความถี่ที่ทำให้เกิดการ oscillate หาได้จาก

$$f_1 = \frac{1}{2\pi\sqrt{L_1 C_1}} \quad \dots\dots(2)$$

เมื่อ  $L_1$  เป็นค่า inductance ของวงจรด้านปฐมภูมิ เกิดการ oscillation ในวงจรทางด้านปฐมภูมิของ tesla transformer จะทำให้เกิดแรงคลื่อนเห็นได้ยาน้ำและกระแสหนึ่งวนในขดลวดด้านทุติภูมิของ tesla transformer ซึ่งมีความถี่เข่นเดียวกันกับทางด้านปฐมภูมิจะส่งถ่ายพลังงานไปยังวงจรทางด้านทุติภูมิ ( $L_2 C_2$ ) ในลักษณะแรงดันไฟฟ้าด้านปฐมภูมิเริ่มลดลงและในขณะที่แรงดันด้านปฐมภูมิเริ่มเพิ่มขึ้น ถ้าเพื่อค่า inductance ทางด้านปฐมภูมิ ( $L_2$ ) และ stray capacitance( $C_2$ ) มีค่าเท่ากับวงจรทางด้านปฐมภูมิ คือ  $L_1 C_1 = L_2 C_2$  จะเกิดการ damped oscillation แบบต่อเนื่อง และพลังงานที่เกิดขึ้นหายใจจาก

$$W = \frac{1}{2} CV^2 \quad \dots\dots(3)$$

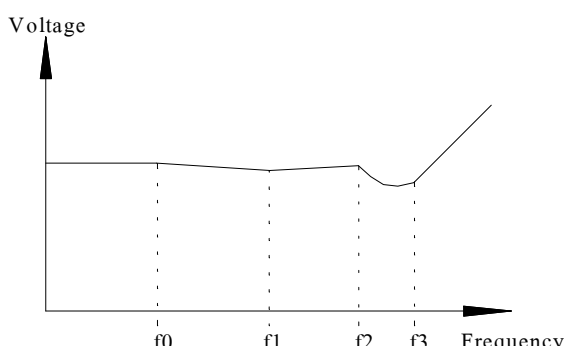
โดยที่  $W$  = พลังงานที่เกิดขึ้น

$C$  = ค่าความจุไฟฟ้าของตัวเก็บประจุ

$V$  = แรงดันที่ป้อนให้แก่ตัวเก็บประจุ

#### 2.8.8 ศักย์ด้าไฟฟ้าเบรกดาวน์ที่ความถี่สูง (Breakdown voltage at high frequency)

ความสัมพันธ์ระหว่างศักย์ด้าไฟฟ้า และความถี่สามารถแยกออกได้เป็นห้าช่องดังแสดงในรูปที่ 6 และศักย์ด้าไฟฟ้าเบรกดาวน์ที่ขึ้นอยู่กับความถี่ในแต่ละช่วงนั้นมีขบวนการทางด้านฟิสิกส์ต่างๆ ดังนี้



รูปที่ 6 ความสัมพันธ์ระหว่างแรงดันเบรกดาวน์ และความถี่

ที่ความถี่ต่ำกว่า  $f_0$  ศักย์ด้าไฟฟ้าเบรกดาวน์ไม่ขึ้นอยู่กับความถี่ ทั้งนี้เป็นเพราะไออกอนบวกหรือประจุอากาศที่เกิดขึ้นในระหว่างไออกอนในช่วงครึ่งไซเคิลแรก มีเวลามากพอที่จะเคลื่อนที่เข้า ไออก็อตและครึ่งไซเคิลต่อไปจึงไม่ประจุอากาศเหลือจากครึ่งไซเคิลแรก และขบวนการก็เริ่มใหม่เมื่อตอนเดิม เมื่อความถี่เพิ่มมากขึ้นมากกว่า  $f_0$  ส่วนหนึ่งของไออกอนบวกในครึ่งไซเกิลแรกยังเหลืออยู่ ทำให้เกิดประจุอากาศสะสมไปเรื่อยๆ ทำให้ศักย์ด้าไฟฟ้าเบรกดาวน์ต่ำลง สำหรับความถี่วิกฤติขึ้นอยู่กับความดัน

ของก๊าซ และระยะระหว่างอิเล็กโทรดเช่น ในช่องว่างอากาศในสนามสม่ำเสมอที่ความดันบรรยายความถี่วิกฤติมีค่า  $1\text{MHz}$  ระยะช่องว่าง  $0.09\text{ cm}$  ความถี่วิกฤติมีค่า  $110\text{kHz}$  ที่ระยะช่องว่าง  $0.45\text{ cm}$  และความถี่วิกฤติมีค่า  $20\text{ kHz}$  ที่ระยะช่องว่าง  $2.5\text{ cm}$  จะเห็นได้ว่าความถี่เปลี่ยนแปลงแบบผกันบะระยะช่องว่างโดยประมาณ ถ้าความดันก๊าซเพิ่มมากขึ้นความถี่วิกฤติ ต้องมีค่าลดลงเมื่อเพิ่มความถี่จนถึง  $f_1$  และหลังจากนั้นศักย์ด้าไฟฟ้าเบรกดาวน์มีค่าเกือบคงที่ เมื่อความถี่เพิ่มต่อไป ที่เป็นเช่นนี้ เพราะประจุอากาศที่เกิดขึ้นในช่องว่างไม่เพิ่มขึ้นอีกต่อไปแล้ว เนื่องจากเกิดสภาพสมดุลย์ระหว่างอัตราการเกิดของไออกอน และการกระจายของประจุอากาศไปยังอิเล็กโทรดเมื่อความถี่เพิ่มขึ้นจนถึง  $f_2$  ต่อจากนั้นศักย์ด้าไฟฟ้าเบรกดาวน์ที่ลดลงที่ความถี่ในช่วงระยะเวลาหนึ่ง ในครึ่งไซเคิลสั้นเกินไปสำหรับไออก็อต ความเร็วเพิ่มขึ้น

## 2. การออกแบบและสร้าง

จากทฤษฎีพื้นฐานของหม้อแปลงแรงดันสูงความถี่สูงจะนำไปใช้ในการออกแบบหม้อแปลงซึ่งมีส่วนประกอบสำคัญหลายส่วน ดังนี้ หม้อแปลงจ่ายแรงดันด้านแรงดันต่ำ ตัวเก็บประจุด้านแรงดันต่ำ ขดลวดทางด้านแรงดันต่ำ ขดลวดทางด้านแรงดันสูง ชุดสปาร์คแแกป ซึ่งส่วนประกอบทั้งหมดจะถูกประกอบรวมอยู่บนฐานรองที่สามารถเคลื่อนที่ได้สะดวก

### 2.1 เงื่อนไขการออกแบบ

หม้อแปลงแรงดันสูงความถี่สูงนี้ ออกแบบสร้างโดยใช้มาตรฐาน ANSI C 29.1-1976 (Test methods for electrical power insulators)

#### 2.1.1 ค่าแรงดันสูงที่กำหนด

โดยทั่วไปหม้อแปลงแรงดันสูงความถี่สูงใช้ทดสอบลูกถ้วยทุกลูกที่ผลิตขึ้นในโรงงานเพื่อตรวจสอบคุณภาพขั้นต้นว่าลูกถ้วยมีความบกพร่องภายในเนื้อปอร์ซิลิน โดยการทำให้เกิดความไฟบนผิวลูกถ้วยตามมาตรฐานกำหนด ซึ่งแรงดันสูงสุดที่หม้อแปลงแรงดันสูงความถี่สูงควรสร้างได้ต้องมีขนาดแรงดันสูงสุดถึง  $400\text{ kV}_{\text{peak}}$  เพราเว่าแรงดันขนาดนี้สามารถทดสอบลูกถ้วยได้ทุกชนิดแต่เนื่องจากงานวิจัยนี้ใช้เพื่อการศึกษาชุดเหนี่ยวแนวนี้ในหม้อแปลงแรงดันสูงความถี่สูงระหว่างขดลวดทั้ง 2 ชุด จึงกำหนดพิกัดแรงดันที่  $120\text{ KV}$  เพื่อให้สะดวกต่อการจัดหาอุปกรณ์ประกอบ เช่น หม้อแปลงนีออนที่ใช้เป็นต้นกำลังจะไม่ต้องใช้กระแสสูง

### 2.1.2 ค่าความถี่ที่กำหนด

ค่าความถี่สูงสุดที่ทำให้เกิดปัญหาต่อระบบส่งจ่ายพลังไฟฟ้ามีค่าประมาณ 80 กิโลเฮิรตซ์(kHz) ซึ่งในทางปฏิบัติเกิดจากสัญญาณความถี่แบบลดทอน (Damped) ในขณะที่เกิดการสวิตชิ้ง(Switching) หรือเกิดจาก Arcing ground ในระบบไฟฟ้า และจากข้อมูลที่ได้ศึกษาว่าค่าความถี่ไฟตามผู้ที่ระดับความถี่ 600 กิโลเฮิรตซ์ และความถี่ 100 กิโลเฮิรตซ์ มีค่าแตกต่างกันไม่มาก จะนับมาตรฐาน ANSI C 29.1-1976 กำหนดค่าความถี่ของแหล่งจ่ายแรงสูง สำหรับทดสอบลูกถ้วย ปอร์ชเลนไม่ต่ำกว่า 100 กิโลเฮิรตซ์ การเลือกความถี่ของหม้อแปลงแรงดันสูงความถี่สูงที่ออกแบบสร้างจึงเลือกให้มีความถี่ที่ 120 กิโลเฮิรตซ์

ในการออกแบบสิ่งที่ต้องคำนึงถึงเป็นสิ่งแรก คือ ขนาดของตัวเก็บประจุทางด้านแรงสูง  $C_2$  ว่ามีค่ามากน้อยเพียงใด เนื่องจากค่าแรงดันและค่าของความถี่ด้านจ่ายออกจะมีการเปลี่ยนแปลงเมื่อขนาดของโหลด  $C_2$  มีการเปลี่ยนแปลง หม้อแปลงแรงดันสูงและความถี่สูงที่ต้องการออกแบบนี้ มีวัตถุประสงค์เพื่อศึกษาผลกระทบของชุดเหนี่ยวนำเพื่อหมายติที่เหมาะสม จึงกำหนดพิกัดแรงดันสูงและความถี่ดังนี้

- แรงดันพิกัดด้านแรงดันสูง	120	kVrms
- ความถี่พิกัด	120	kHz
- แรงดันป้อนเข้า	0-15	kVrms

### 2.1.3 ความจุไฟฟ้าทางแรงสูง

จากทฤษฎีพบว่าความถี่และขนาดแรงดันที่เกิดขึ้น มีความสัมพันธ์กับความจุไฟฟ้าและความหนี่ยาน้ำของชุดลวด ซึ่งค่าความจุไฟฟ้าทางแรงสูงของวงจรหม้อแปลงแรงดันสูงความถี่สูงประกอบไปด้วย

- ความจุไฟฟ้าของลูกถ้วยมีค่าอยู่ในช่วง 10 – 50 pF
- ความจุไฟฟ้าสเตอร์ (Stray Capacitance) ของชุดลวด แรงสูงมีค่าประมาณ 10 pF
- ความจุไฟฟ้าของแกปทรงกลม (Sphere Gap) มีค่าประมาณ 5-10 pF
- ความจุไฟฟ้าของหัวลดความเครียดสนามไฟฟ้า มีค่าประมาณ 5-20 pF

การคำนวณได้ผลรวมค่าความจุต่างๆ แล้วจะได้ค่าความจุ  $C_2$  มีค่าประมาณ 40 pF ที่เลือกค่าน้อยเพราภายนิวจัยนี้ไม่ได้ใช้ทดสอบลูกถ้วยจริง จากค่าแรงดันและความถี่ที่กำหนดและค่าความจุไฟฟ้าทางด้านแรงสูง สามารถคำนวณหาหมายติของส่วนประกอบโครงสร้างได้

### 2.2 การออกแบบชุดลวดด้านแรงสูง

หากวงจรอยู่ในสภาพะจุน คือ  $L_1C_1$  หรือ  $L_2C_2$  จะได้ค่าความหนี่ยาน้ำของชุดลวดแรงสูงจากสมการ

$$f_2 = \frac{1}{2\pi \sqrt{L_2 C_2}}$$

จากสมการสามารถคำนวณหาค่าความหนี่ยาน้ำทางด้านแรงสูงได้ คือ

$$L_2 = \frac{1}{4\pi^2 f_2^2 C_2} \quad \dots\dots(4)$$

ในการพัฒนาชุดลวดด้านแรงสูง ค่าความหนี่ยาน้ำมีโอกาสผิดพลาดได้ เพื่อให้แน่ใจว่าจะได้ความถี่อยู่ในย่านที่กำหนดจึงเลือกความถี่ในการคำนวณนั้นแรกเป็น 120 kHz เมื่อพิจารณาจากสมการที่ 3.1 จะเห็นว่า ถ้าพัฒนาแล้วได้ความหนี่ยาน้ำมากไป ความถี่จะต่ำลง ถ้าพัฒนาแล้วได้ความหนี่ยาน้ำน้อยไป จะไม่ทำให้เกิดปัญหาอย่างใด จะได้ความถี่สูงขึ้นดังนั้นจากสมการที่ 3.1 เมื่อแทนค่า  $f_2$  ที่ 120 kHz และผลรวมของโหลด  $C_2$  เท่ากับ 40 pF จะได้

$$L_2 = \frac{1}{4\pi^2 \times (120\text{kHz})^2 \times (40\text{pF})} \quad \dots\dots(5)$$

$$\equiv 43.97 \text{ mH}$$

หม้อแปลงแรงดันสูงและความถี่สูงที่สร้างขึ้นมา มีแกนเป็นอากาศศักดิ์เป็นต้องมีโครงรูปนูน ในงานวิจัยนี้จะใช้ท่อพีวีซีสำหรับพันชุดลวดทางด้านแรงดันสูงเนื่องจากจนวนดังกล่าวมีคุณสมบัติเป็นจนวนไฟฟ้า ไม่ดูดความชื้น มีความแข็งแรงทางกลพอตี่ ราคาไม่แพง และสามารถผลิตได้เองในประเทศไทย

ในการเลือกขนาดท่อสามารถเลือกได้หลายขนาดตามความเหมาะสมในการออกแบบซึ่งขนาดของเส้นผ่าศูนย์กลางของท่อจะเป็นตัวกำหนดความสูงในการพัฒนาเพราจะทำให้เกิดมิติในการคับปลิ้งที่ต้องสูดดังตารางที่ 3.1

ตารางที่ 2 แสดงขนาดของท่อและความสูงที่เหมาะสมในการพัฒนาแรงสูง

ขนาดเส้นผ่าศูนย์กลางท่อหัว	ความสูง/เส้นผ่าศูนย์กลาง	ความยาวพื้นที่พัฒนาหัว
3	6.0:1	18.0
4	5.0:1	20.0
5	4.5:1	22.5
6	4.0:1	24.0
7	3.5:1	24.5
มากกว่า 8	3.0:1	24.0

ค่าความหนืดนำทางด้านแรงดันสูง  $L_2$  นี้จะเป็นเกณฑ์ ประการหนึ่งในการออกแบบลดลงสูง โดยจะต้องพิจารณาของเส้นลวดที่จะนำมาพันขดลวดแรงสูง ซึ่งกำหนดด้วยความหนาแน่นของกระแส โดยคำนวณจากกระแสสัตว์ของหัวแม่ปล่องแรงดันสูง และความถี่สูง เมื่อใช้ทดสอบการเกิด火花ไฟฟ้าผิดกฎหมาย ซึ่งเปรียบเสมือนการตัดวงจรทางด้านแรงสูง ดังนั้นกระแสไฟลั่นในขดลวดแรงสูงจะถูกจำกัดด้วยอิมพีเดนซ์ของขดลวด สามารถคำนวณหาค่ากระแสสัตว์ได้ดังนี้

$$I_{sc} = \frac{V_{rms}}{Z} = \frac{V_{rms}}{2\pi f_2 L_2} \quad \dots\dots(6)$$

.....(3.3)

แทนค่าจะได้

$$= \frac{120 \times 10^3}{2\pi \times 120 \times 10^3 \times 43.97 \times 10^{-3}}$$

$$= 3.61965 \text{ A}$$

แต่เนื่องจากกระแสสัตว์จรที่เกิดเป็นลักษณะพัลส์ที่ไม่ต่อเนื่องตลอดความถี่ของแรงดันที่ป้อนเข้าของหัวแม่ปล่อง (50Hz) สัญญาณพัลส์ที่เกิดจะเกิดความกว้างประมาณครึ่งควบ厢ของความถี่ 120 kHz (8.333 μs) หลังจากครึ่งควบ厢เวลาผ่านไปแล้วกระแสที่ไหลผ่านขดลวดแรงสูงจะมีค่าเป็นศูนย์มากกว่าจะมีการสร้างแรงดันสูงขึ้นมาอีกรั้ง ถ้ามีพัลส์เกิดขึ้นทุกรั้งเมื่อแรงดันที่ป้อนเข้าเพิ่มขึ้นถึงค่ายอดความถี่ของพัลส์จะเป็น 100 Hz (10ms) กระแสประสิทธิผลที่ไหลผ่านขดลวดแรงสูงจึงสามารถคำนวณได้ดังนี้

$$I_{eff} = I_{sc} \times \sqrt{\frac{\text{ช่วงเวลาที่มีกระแส 1 คบนา}}{\text{ช่วงเวลา 1 คบนา}}} \quad \dots\dots(7)$$

$$= 3.61965 \times \sqrt{\frac{8.33 \mu s}{10 ms}}$$

$$= 3.015 \text{ mA}$$

จากความหนาแน่นของกระแสที่ไหลผ่านขดลวด ซึ่งขึ้นอยู่กับค่าประสิทธิภาพและอุณหภูมิที่เพิ่มและยอมรับได้ โดยทั่วไปทองแดงทั่วไปมีค่าเท่ากับ  $2.5 \text{ A/mm}^2$  พื้นที่หน้าตัดของขดลวดทองแดงจะหาได้จาก

$$A_{eff} = \frac{I_{eff}}{J} \quad \dots\dots(8)$$

เมื่อ  $J$  = ความหนาแน่นของกระแส,  $\text{A/mm}^2$

$$I_{eff} = \text{กระแสประสิทธิผล, A}$$

$$A_{eff} = \text{พื้นที่หน้าตัด, mm}^2$$

แทนค่า

$$A_{eff} = \frac{3.015 \text{ mA}}{2.5 \text{ A/mm}^2}$$

$$= 0.001206 \text{ mm}^2$$

$$\text{หรือ } = 0.01 \times 10^{-3} \text{ cm}^2$$

เมื่อคิดผลของสภาพนำเชิงผิว (Skin effect) ที่มีความลึกของสภาพนำเชิงผิว ซึ่งสามารถคำนวณความลึกของสภาพนำเชิงผิว ได้จาก

$$\delta = \frac{1}{\sqrt{\pi f \mu \sigma}} \quad \dots\dots(9)$$

เมื่อ  $\delta$  = ค่าความลึกของสภาพนำเชิงผิว

$\sigma$  = สภาพนำไฟฟ้าของตัวนำ,  $\text{mho/cm}$

$f$  = ความถี่,  $\text{Hz}$

$\mu$  = ค่าเบอบิลิตี้ของตัวนำ

ในกรณีของทองแดง  $\sigma = 5.8 \times 10^9 \text{ mho/cm}$  จะได้

$$\delta_{CU} = \frac{6.62}{\sqrt{f}} \text{ cm} \quad \dots\dots(10)$$

และความถี่ที่ต้องการ คือ 120 kHz จะได้ค่า

$$\delta_{CU} = \frac{6.62}{\sqrt{120 \times 10^3}}$$

$$= 0.019 \text{ cm}$$

ตัวใช้ลัดวงในในการพันขดลวดแรงสูง กระแสจะไหลผ่านเฉพาะที่ผิวรัศมี  $r_1$  ดังแสดงในรูปที่ 3.2 ซึ่งสามารถคำนวณหารัศมี  $r_1$  ได้ดังนี้

$$(\pi r_1^2 - \pi r_2^2) = A_{eff} \quad \dots\dots(11)$$

$$(\pi r_1^2 - \pi (r_1 - \delta)^2) = 0.01 \times 10^{-3}$$

$$r_1 = \frac{0.01 \times 10^{-3}}{2\pi \times 0.019} + \frac{0.019}{2}$$

$$= 0.00958 \text{ cm}$$

จากค่ารัศมีที่ 1 คำนวณเพื่อค่าความปลดภัย 50 เปอร์เซ็นต์

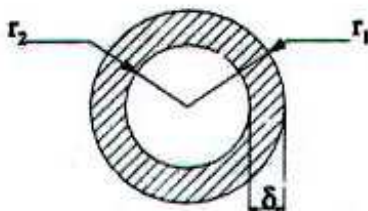
$$r_1 = 0.00958 + (0.00958 \times 0.5)$$

$$= 0.01437 \text{ cm}$$

ทำให้หาค่าเส้นผ่าศูนย์กลางของขดลวด (d) ได้ดังนี้

$$\begin{aligned} d_1 &= 2 \times r_1 \\ &= 2 \times (0.01437) \\ &= 0.02874 \text{ cm} \\ &= 0.2874 \text{ mm} \end{aligned}$$

จากข้อมูลเส้นลวดทองแดงที่มีการผลิตและจำหน่ายที่มีขนาดใกล้เคียงและสามารถนำมาพัฒนาขดลวดแรงสูงแล้วได้ค่าความหนาแน่น้ำหนักตัวของเส้นผ่าศูนย์กลาง 0.29 mm หรือเบอร์ 31 SWG คุณสมบัติของลวดทองแดง เบอร์ 31 SWG มีความต้านทาน  $27.522 \Omega /100\text{m}$



รูปที่ 7 แสดงบริเวณที่มีกระแสไฟฟ้าไหลเนื่องจากผลสภานำเข้าผ่านของขดลวดทองแดง

การพันขดลวดแรงสูง จะพันตามพิกัดจากตาราง 3.1 คือใช้ห้องน้ำดเส้นผ่าศูนย์กลางจริงมีค่าเท่ากับ 4 นิ้ว ดังนั้นมีค่าความหนาแน่น้ำหนักตัวของเส้นผ่าศูนย์กลางจะได้ความสูงที่ 20 นิ้ว จะทำการพันขดลวดโดยไม่มีจำนวนขั้นกลากะห่วงรอบซึ่งค่าจำนวนหากความยาวของขดลวดได้จากการ

$$L = \frac{(NR)^2}{9R + 10H} \quad \dots\dots(11)$$

เมื่อ  $L$  = ความหนาแน่น้ำหนัก  $\mu\text{H}$   
 $R$  = รัศมีของแกนถึงศูนย์กลางลวด , นิ้ว  
 $N$  = จำนวนรอบ  
 $H$  = ความสูงของระยะที่พันลวด , นิ้ว

จากสมการ 11 คำนวนหาจำนวนรอบของขดลวดแรงสูงได้

$$\begin{aligned} N &= \sqrt{\frac{L(9R + 10H)}{R^2}} \\ &= \sqrt{\frac{43.97 \times 10^3 \times ((9 \times 2.25) + (10 \times 20))}{2.25^2}} \\ &= 1383 \text{ รอบ} \end{aligned}$$

เมื่อทำการจัดสร้างจริง วัดค่าความหนาแน่น้ำหนักของขดลวดด้านทุกด้าน ค่าที่ได้ 43.02 mH ซึ่งค่าที่ได้ดังกล่าวจะมีค่าน้อยกว่าที่ทำการออกแบบไว้แต่จะไม่มีผลเสียแต่อย่างใดแต่กลับเป็นผลดี เพราะจะทำให้ได้ความถี่ที่จำยอมีค่าเพิ่มขึ้นในขดลวดแรงสูงจะมีค่าความจุไฟฟ้าสูงซึ่งสามารถหาได้จากการที่ 3.10 คือ

$$C_S = 0.29H + 0.41R + 1.94 \sqrt{\frac{R^3}{H}} \quad \dots\dots(12)$$

เมื่อ  $C_S$  = ความจุไฟฟ้า , pF  
 $R$  = รัศมีของแกนถึงศูนย์กลางลวด , นิ้ว  
 $H$  = ความสูงของระยะที่พันลวด , นิ้ว

แทนค่า

$$\begin{aligned} C_S &= (0.29 \times 20) + (0.41 \times 2.25) + 1.94 \sqrt{\frac{2.25^3}{20}} \\ &= 8.18 \text{ pF} \end{aligned}$$



รูปที่ 8 ขดลวดแรงสูงที่พันอยู่กับท่อ PVC ขนาด 4 นิ้ว

2.2 ความเครียดสนามไฟฟ้าระหว่างรอบของขดลวดแรงสูง ระยะห่างระหว่างรอบของขดลวดแรงสูง เมื่อใช้งานหม้อแปลงเทสลาที่แรงดันกำลังดูดต้องไม่เกิดดิสชาร์จหรือเบรคดาวน์ตามผิว นั่นคือ ความเครียดสนามไฟฟ้าของขดลวดต้องต่ำกว่าสนามไฟฟ้า วิกฤตของอากาศที่อยู่รอบขดลวด ซึ่งค่าความเครียดสนามไฟฟ้าวิกฤตของอากาศกำหนดให้มีค่าสูงสุด 30 กิโลโวลต์ต่อเซนติเมตร ความเครียดสนามไฟฟ้าสูงสุดระหว่างรอบของขดลวดคำนวนได้จากการ

$$E_{\max} = \frac{V}{2} \frac{\sqrt{\left(\frac{d}{2r}\right)^2 - 1}}{r \left(\frac{d}{2r} - 1\right) n \left(\frac{d}{2r} + \sqrt{\left(\frac{d}{2r}\right)^2 - 1}\right)} \quad \dots\dots(13)$$

โดยที่  $r$  คือ รัศมีของขดลวดที่ใช้งาน (เซนติเมตร)

$d$  คือ ระยะระหว่างจุดกึ่งกลางของรอบเส้นลวด (เซนติเมตร)

$v$  คือ ความต่างศักย์ระหว่างรอบเส้นลวด (โวลต์ต่อรอบ)

จากสมการ (13) แทนค่าได้ดังนี้

$$E_{\max} = \frac{86}{2} \frac{\sqrt{\left(\frac{0.03}{2 \times 0.0145}\right)^2 - 1}}{0.0145 \left(\frac{0.03}{2 \times 0.0145} - 1\right)} n \left( \frac{0.03}{2 \times 0.0145} + \sqrt{\left(\frac{0.03}{2 \times 0.0145}\right)^2 - 1} \right)$$

$$= 88.28 \text{ kV/cm}$$

ที่กำหนดแรงดันของหม้อแปลงเทลส์ 120 กิโลโวลต์ ได้ค่าความเครียดสนามไฟฟ้าระหว่างรอบประมาณ 88.28 กิโลโวลต์ต่อเซนติเมตร ซึ่งสูงกว่าค่าความเครียดสนามไฟฟ้าวิกฤตของอากาศ ที่ความดันบรรยายการดังนั้นระยะห่างระหว่างรอบเส้นลวดแรงสูงที่ออกแบบไว้จึงมีโอกาสที่จะเกิดติดสาร์จหรือเบรคดาวน์ได้

### 2.3 การเลือกหม้อแปลงจ่ายแรงดันด้านแรงดันต่ำ

ในการเลือกหม้อแปลงจ่ายแรงดันมีความสำคัญเนื่องจากจะเป็นตัวกำหนดค่าความจุของตัวเก็บประจุด้านแรงดันต่ำ ในโครงงานนี้ได้เลือกใช้หม้อแปลงที่ใช้สำหรับจุดทดลองนีออน (Neon sign transformer) โดยมีขนาดพิกัดดังนี้

Primary : 230 V 2.0 A

Secondary : 15000 V 30 mA ; 450 VA 50Hz



รูปที่ 9 หม้อแปลงจ่ายกำลังด้านแรงดันต่ำ

ทำการหาค่าอิมพีเดนซ์ของหม้อแปลงทางด้านทุติยภูมิจากสมการที่

14

$$Z = \frac{V_{rms}}{I_{sc}} \quad \dots\dots(14)$$

$$= \frac{15000 \text{ Vrms}}{30 \text{ mA}}$$

$$= 500 \text{ k}\Omega$$

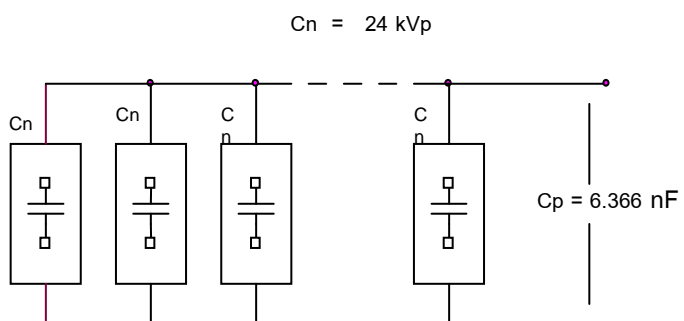
### 2.4 การออกแบบตัวเก็บประจุด้านแรงดันต่ำ

ในการออกแบบตัวเก็บประจุทางด้านแรงดันต่ำ สามารถหาได้โดยการนำเอาค่าอิมพีเดนซ์ของหม้อแปลงที่คำนวนได้จากการ 15 มาทำการหาค่าความจุของตัวเก็บประจุสูงสุด จากสมการที่ 15 คือ

$$C_{1max} = \frac{1}{2\pi f Z} \quad \dots\dots(15)$$

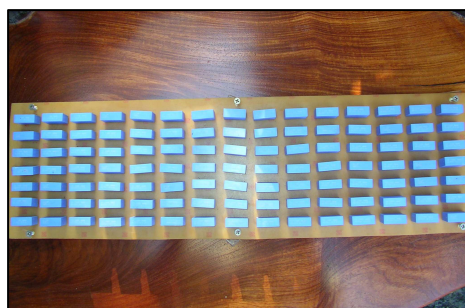
$$= \frac{1}{2\pi \times 50 \times 500,000}$$

$$= 6.366 \text{ nF}$$



รูปที่ 10 วงจรภายในของตัวเก็บประจุด้านแรงดันต่ำ

ในงานวิจัยนี้เลือกใช้ตัวเก็บประจุชนิดโพลีโพฟีลีน (Polypropylene) ค่าความจุ 15 nF +/- 5% 1600 V โดยนำมาต่ออนุกรมกันจำนวน 15 ตัว โดยใช้ตัวเก็บประจุจำนวน 7 ชุด เพื่อให้ทันแรงดันต่ำอยู่ดีที่ประมาณ 24 kV<sub>peak</sub> จะได้ค่าความจุประมาณ 7 nF ดังรูปที่ 10

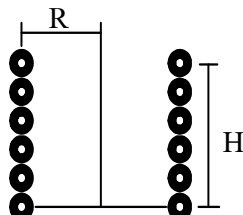


รูปที่ 11 ตัวเก็บประจุทางด้านแรงดันต่ำ

#### 2.4 การออกแบบสร้างขดลวดแรงต่ำ

การสร้างขดลวดแรงต่ำแบบแนว 90 องศาจะนำเอาห่อทองแดงขนาด 0.25 นิ้ว ซึ่งมีความหนาของส่วนที่เป็นทองแดง 0.028 นิ้ว โดยทำการพันแบบแนวตั้ง(Vertical) ยกระดับตัวลงจากกับพื้นโดยมีระยะห่างจากจุดศูนย์กลางของหอแต่ละรอบ 1 นิ้ว ระยะห่างระหว่างขดลวดแรงต่ำขดแรกกับขดลวดแรงสูงเท่ากับ 4 นิ้ว ระยะ R เท่ากับ 6.5 นิ้ว ระยะ H เท่ากับ 9 นิ้ว และพันจำนวนรอบทั้งหมด 10 รอบ ซึ่งค่าความหนี่ยกเว้นได้จากสมการที่ (16)

$$L = \frac{(NR)^2}{9R + 10H} \quad \dots\dots(16)$$



รูปที่ 12 แสดงการพันขดลวดปฐมภูมิของหม้อแปลงเทสล่า ในแนว 90 องศา

เมื่อ  $L =$  ความหนี่ยกเว้น ,  $\mu\text{H}$   
 $R =$  รัศมีของแกนถึงศูนย์กลางลวด , นิ้ว  
 $N =$  จำนวนรอบ  
 $H =$  ความสูงของระยะที่พันลวด , นิ้ว

แทนค่า

$$L_p = \frac{(10 \times 6.5)^2}{(9 \times 6.5) + (10 \times 9)} = 28.45 \mu\text{H}$$

#### 2.5 ความเครียดสนามไฟฟาระหว่างรอบของขดลวดแรงต่ำ

ความเครียดสนามไฟฟาระหว่างรอบของขดลวดแรงต่ำสามารถพิจารณาด้วยวิธีการเดียวกับทางด้านแรงสูงซึ่งใช้ห่อทองแดงขนาดพื้นที่หน้าตัด 0.2 ตารางมิลลิเมตร แรงดันป้อนเข้า 15 กิโลโวลต์ และเมื่อจำนวนรอบของแรงต่ำมีค่าต่ำสุดสำหรับใช้งานปกติ คือ 2 รอบ

ความเครียดสนามไฟฟ้าสูงสุดระหว่างรอบของขดลวดคำนวณได้จากสมการ

$$E_{\max} = \frac{V}{2} \frac{\sqrt{\left(\frac{d}{2r}\right)^2 - 1}}{r \left(\frac{d}{2r} - 1\right) n \left(\frac{d}{2r} + \sqrt{\left(\frac{d}{2r}\right)^2 - 1}\right)} \quad \dots\dots(17)$$

โดยที่  $r$  คือ รัศมีของขดลวดที่ใช้งาน (เซนติเมตร)

$d$  คือ ระยะระหว่างจุดศูนย์กลางของรอบเส้นลวด (เซนติเมตร)

$v$  คือ ความต่างศักย์ระหว่างรอบเส้นลวด (โวลต์ต่อรอบ)

จากสมการ (17) แทนค่าได้ดังนี้

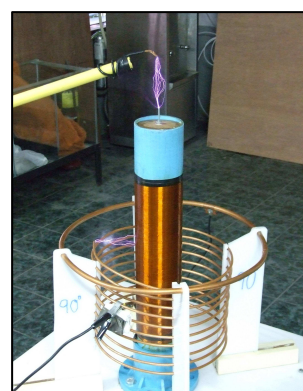
$$E_{\max} = \frac{1875}{2} \frac{\sqrt{\left(\frac{2.5}{2 \times 0.025}\right)^2 - 1}}{0.025 \left(\frac{2.5}{2 \times 0.025} - 1\right) n \left(\frac{2.5}{2 \times 0.025} + \sqrt{\left(\frac{2.5}{2 \times 0.025}\right)^2 - 1}\right)} = 8.29 \text{ kV/cm} \approx 8 \text{ kV/cm}$$

ที่กำหนดแรงดันของหม้อแปลงเทสล่า 15 กิโลโวลต์ ได้ค่าความเครียดสนามไฟฟาระหว่างรอบประมาณ 8 กิโลโวลต์ต่อเซนติเมตร ซึ่งต่ำกว่าค่าความเครียดสนามไฟฟาริกฤตของอากาศ ที่ความดันบรรยายกาศ ดังนั้นระยะห่างระหว่างรอบเส้นลวดแรงสูงที่ออกแบบไว้จึงปลอดภัยจากการเกิดติดเชื้อหรือเบรคดาวน์ ความเครียดสนามไฟฟาระหว่างรอบของขดลวดแรงต่ำ

#### 3. ผลการทดสอบค่าแรงดัน และความถี่หม้อแปลง

##### เทสล่า

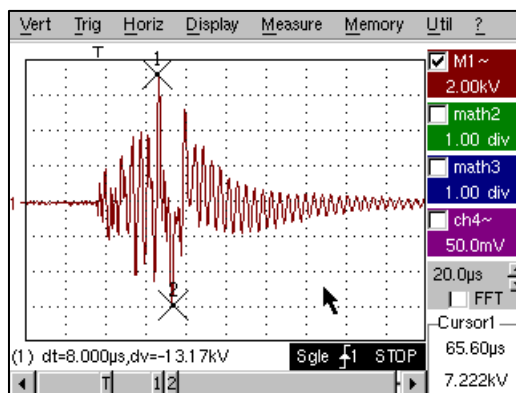
จากฤทธิ์ที่ได้ศึกษามาทำการออกแบบ และทำการจัดสร้างหม้อแปลงแรงดันสูงและความถี่สูงขึ้นมา ได้ทำการทดสอบองหาคุณลักษณะของขดลวดเหนี่ยวนำของหม้อแปลงแรงดันสูงและความถี่สูง ความถี่ของหม้อแปลงแรงดันสูงและความถี่สูง ระยะของขดลวดของการปรับแต่งค่าโดยการจูน และระยะgapที่ต้องการตั้งค่าให้เหมาะสมต่างๆที่มีผลต่อแรงดันข้อออก



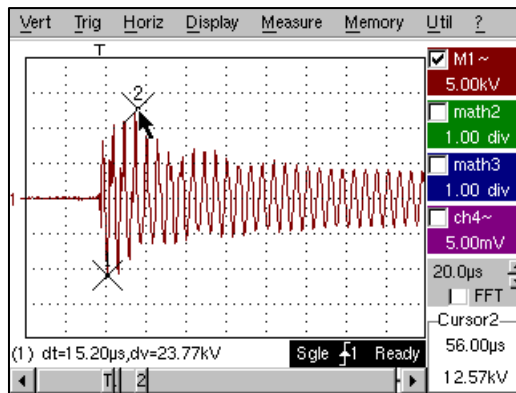
รูปที่ 13 การทดสอบทางกายภาพโดยใช้กราว์ล์ล์ที่แรงดันขาออกโดยไม่ใส่กรอยด์ (Toroid)



รูปที่ 14 การทดสอบทางกายภาพโดยใช้กราว์ล์อที่แรงดันข้อออกโดยไส้ท่อรอยด์ (Toroid)



รูปที่ 15 รูปคลื่นออสซิลเลชั่นแบบหน่วงของแรงดันสูงด้านจ่ายออกของหม้อแปลงแรงดันสูงและความถี่สูงที่มุ่ง 90 องศา ไม่ใช่ Toroid สภาวะการจุนที่ 10 รอบของขดลวดป্র้มภูมิ

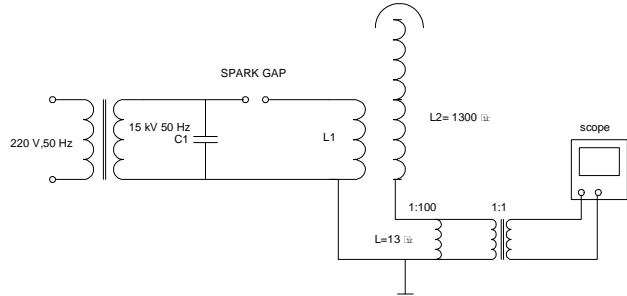


รูปที่ 16 รูปคลื่นออสซิลเลชั่นแบบหน่วงของแรงดันสูงด้านจ่ายออกของหม้อแปลงแรงดันสูงและความถี่สูงที่มุ่ง 90 องศา ไม่ใช่ Toroid สภาวะการจุนที่ 10 รอบของขดลวดป្រមภុមិ

### 3.1 การวัดความถี่ของหม้อแปลงแรงดันสูงความถี่สูง

การวัดรูปคลื่นด้านจ่ายออกของหม้อแปลงแรงดันสูงและความถี่สูงโดยการต่อตามรูปที่ 17 ใช้ออสซิลโลสโคปดิจิตอลเป็นตัววัด

รูปคลื่นสัญญาณความถี่ ในขณะที่มีจำนวนขดลวดแรงด้ามเท่ากับ 6,8,10 รอบ จากออสซิลโลแกรมสามารถหาความถี่ได้ดังรูป และเปรียบเทียบกับผลการคำนวนจากการสัมพันธ์



รูปที่ 17 วงจรการวัดออสซิลโลแกรมรูปคลื่นออสซิลเลชั่นแบบหน่วงของแรงดันสูงด้านจ่ายออกของหม้อแปลงแรงดันสูงและความถี่สูงที่ความถี่ 120 kHz

$$f = f_1 = f_2 = \frac{1}{2\pi\sqrt{L_2 C_2}}$$

$$\text{โดยที่ } L_2 = 44.02 \text{ mH}$$

$$C_2 = 40 \text{ pF}$$

ความถี่ที่ได้จากการคำนวนเท่ากับ 120 kHz

ตัวอย่างคำนวนความถี่จากการฟความถี่ที่ได้ของออสซิลโลสโคป

$$\text{สูตร } f = \frac{1}{T}$$

$$T (\text{รูปที่ 16}) = 41.6 \div 5.25$$

$$= 7.9 \mu s$$

$$f = 10^3 \div 7.9 = 93.80 \text{ kHz}$$

## 4. เอกสารอ้างอิง

- [1] สำราย สงข์สะอาด, วิศวกรรมไฟฟ้าแรงสูง ภาควิชาวิศวกรรมไฟฟ้า คณะวิศวกรรมศาสตร์ จุฬาลงกรณ์มหาวิทยาลัย, 2549
- [2] Kuffel,E.,&Abdullah, M., High-Voltage Engineering, Pergamon Press, 1977
- [3] ศุภฤทธิ์ เนตรโพธิ์แก้ว, เอกสารประกอบการสอนวิชาชีวกรรมไฟฟ้าแรงสูง, คณะวิศวกรรมศาสตร์ มหาวิทยาลัยเทคโนโลยีราชมงคลพระนคร, 2551
- [4] Lantharpong, S.Nedphograw and S.Hiranvarodom, "Analysis of Electric field and Modeling Design of High Voltage Cable terminators for Partial Discharge testing Using SF6 Insulator" The International Conference on Electrical Engineering 2008 (ICEE2008), Okinawa Convention Center, Okinawa, Japan, on July 6 to 10, 2008